

УДК 548.736:546.27:539.194

ИССЛЕДОВАНИЕ КРИСТАЛЛИЧЕСКОЙ СТРУКТУРЫ  
ХЛОР- И БРОМЗАМЕЩЕННЫХ АЦЕТИЛАЦЕТОНАТОВ ДИФТОРИДА БОРА

И.В. Свистунова<sup>1</sup>, А.В. Герасименко<sup>2</sup>, В.В. Короченцев<sup>1</sup>, Н.П. Шапкин<sup>1</sup>, В.И. Вовна<sup>1</sup>

<sup>1</sup>Дальневосточный федеральный университет, Владивосток, e-mail: irasvist@gmail.com

<sup>2</sup>Институт химии ДВО РАН, Владивосток

Статья поступила 24 ноября 2011 г.

С доработки — 20 февраля 2012 г.

Определена молекулярная и кристаллическая структура галогензамещенных ацетилацетонатов дифторида бора: 2,2-дифтор-5-хлор-4,6-диметил-1,3,2-диоксаборина (**1**) и 2,2-дифтор-5-бром-4,6-диметил-1,3,2-диоксаборина (**2**). В обоих соединениях существует заметное межмолекулярное взаимодействие между атомами фтора и атомами углерода хелатного цикла, а также между атомами фтора и заместителями. Для объяснения выявленных закономерностей упаковки молекул рассчитано распределение зарядов в исследованных хелатах.

**Ключевые слова:**  $\beta$ -дикетонаты дифторида бора, хлорацетилацетонат, бромацетилацетонат, кристаллическая структура, распределение зарядов.

В настоящее время в литературе описано строение большого количества  $\beta$ -дикетонатных комплексов дифторида бора. Исследованы хелаты, содержащие различные заместители при  $\beta$ -углеродных атомах:  $F_2B(acacH)$  [1] (метил, метил),  $F_2B(bzacH)$  [2] (метил, фенил),  $F_2B(dbmH)$  [3] (фенил, фенил). Описаны комплексы, содержащие заместители при центральном атоме углерода хелатного цикла ( $\gamma$ -углерод). В качестве заместителей в этих комплексах были использованы группировки атомов, соединенные с хелатным циклом через атом углерода, как правило, арильные группы [4] или циклы, конденсированные с хелатным циклом [5]. Из комплексов, в которых с борохелатным циклом связан неуглеродный заместитель, были исследованы только серосодержащие производные. В работе [6] описано строение  $F_2B(acacSPh)$ . Комpleксы, в которых с хелатным циклом соединены более сложные серосодержащие, были исследованы в работе [7]. Строение галогензамещенных дикетонатов дифторида бора до сих пор описано не было.

Можно отметить, что в ряду  $\beta$ -дикетонатов металлов галогензамещенным производным также уделялось очень мало внимания. Наиболее полно были исследованы ацетилацетонаты иридия: строение Cl-, Br- и I-замещенных комплексов было описано В.Г. Исаковой и др. [8, 9]. В работах [10] и [11] определено строение  $Cu(acacCl)_2$  и  $Ru(acacBr)_3$ . Кроме того, в литературе имеются сообщения, посвященные строению комплексов, содержащих хлор- или бромацетилацетонатные фрагменты, например, димерные алcoxихлор(бром)ацетилацетонаты хрома [12, 13].

В своей работе мы провели рентгеноструктурное и расчетное исследование  $F_2B(acacCl)$  (**1**) и  $F_2B(acacBr)$  (**2**) и рассмотрели, к каким изменениям в строении хелатного цикла и упаковке молекул приводит введение атома галогена к центральному атому углерода ацетилацетоната дифторида бора.

### ЭКСПЕРИМЕНТАЛЬНАЯ ЧАСТЬ

Получение соединений **1** и **2** описано в работе [ 14 ].

Рентгеновские эксперименты выполнены на дифрактометре BRUKER SMART 1000 CCD (Mo $K_{\alpha}$ -излучение, графитовый монохроматор). Сбор данных проведен в области полусферы по стандартной методике [ 15 ] при расстоянии кристалл—детектор 45 мм. Поглощение рентгеновских лучей в образце учтено по эквивалентным отражениям для **1** и по индексам граней моноцистала для **2**.

Структуры определены прямым методом и уточнены методом наименьших квадратов в анизотропном приближении неводородных атомов. Положения атомов водорода рассчитаны геометрически и включены в уточнение в модели "наездника". Кристаллохимическая информация по исследованным структурам депонирована в Кембриджский банк структурных данных под номерами CCDC 842878 и 842879, откуда может быть свободно получена по запросу на интернет-сайте: [www.ccdc.cam.ac.uk/products/csd/faqs](http://www.ccdc.cam.ac.uk/products/csd/faqs).

Т а б л и ц а 1

*Кристаллографические данные, параметры дифракционного эксперимента и уточнения структур соединений **1** и **2***

Параметр	Соединение	
	<b>1</b>	<b>2</b>
Формула	C <sub>5</sub> H <sub>6</sub> BClF <sub>2</sub> O <sub>2</sub>	C <sub>5</sub> H <sub>6</sub> BBrF <sub>2</sub> O <sub>2</sub>
Молекулярная масса	182,36	226,82
Температура, К	173(1)	173(1)
Длина волны, Å	MoK $\alpha$ (0,71073)	MoK $\alpha$ (0,71073)
Сингония	Моноклинная	Моноклинная
Пространственная группа	P2 <sub>1</sub>	P2 <sub>1</sub>
Параметры элементарной ячейки <i>a</i> , <i>b</i> , <i>c</i> , Å; $\beta$ , град.	6,8205(14), 7,9781(16), 7,2932(15); 105,061(4)	6,8767(9), 7,9947(11), 7,3074(10); 103,816(3)
<i>V</i> , Å <sup>3</sup>	383,22(14)	390,12(9)
<i>Z</i>	2	2
<i>d</i> <sub>выч</sub> , г/см <sup>3</sup>	1,580	1,931
$\mu$ , мм <sup>-1</sup>	0,477	0,524
<i>F</i> (000)	184	220
Форма кристалла, мм	Призма (0,45×0,10×0,04)	Призма (0,35×0,20×0,08)
Область сбора данных по $\theta$ , град.	2,89—26,04	2,87—31,11
Интервалы индексов отражений	$-7 \leq h \leq 8$ , $-9 \leq k \leq 9$ , $-9 \leq l \leq 8$	$-9 \leq h \leq 9$ , $-11 \leq k \leq 11$ , $-9 \leq l \leq 10$
Измерено отражений	2200	3613
Независимых отражений	1363 ( $R_{\text{int}} = 0,0282$ )	2090 ( $R_{\text{int}} = 0,0187$ )
Отражений с $I > 2\sigma(I)$	1265	1965
Метод уточнения	Полноматричный МНК по $F^2$	Полноматричный МНК по $F^2$
Переменных уточнения	102	102
GOOF	1,067	1,058
<i>R</i> -фактор по $F^2 > 2\sigma(F^2)$	$R1 = 0,0394$ , $wR2 = 0,0966$	$R1 = 0,0294$ , $wR2 = 0,0760$
<i>R</i> -фактор по всем отражениям	$R1 = 0,0429$ , $wR2 = 0,0986$	$R1 = 0,0317$ , $wR2 = 0,0773$
Параметр Флэка	0,03(11)	0,002(10)
Коэффициент экстинкции	Не уточнялся	Не уточнялся
Остаточная электронная плотность (min / max), e/Å <sup>3</sup>	-0,228 / 0,239	-0,328 / 0,788

Таблица 2

Межатомные расстояния и валентные углы в соединениях **1** и **2**

Связь	<i>d</i> , Å	Связь	<i>d</i> , Å	Угол	$\omega$ , град.	Угол	$\omega$ , град.
<b>1</b>							
Cl(1)—C(2)	1,7331(17)	C(1)—C(2)	1,388(3)	C(3)—O(1)—B(1)	121,99(15)	O(1)—C(3)—C(5)	115,5(2)
F(1)—B(1)	1,354(3)	C(1)—C(4)	1,478(3)	C(1)—O(2)—B(1)	122,30(15)	C(2)—C(3)—C(5)	124,09(19)
F(2)—B(1)	1,368(3)	C(2)—C(3)	1,377(3)	O(2)—C(1)—C(2)	119,86(17)	F(1)—B(1)—F(2)	112,94(17)
O(1)—C(3)	1,299(2)	C(3)—C(5)	1,489(3)	O(2)—C(1)—C(4)	116,31(16)	F(1)—B(1)—O(1)	108,73(19)
O(1)—B(1)	1,485(3)	Cl(1)…F(1) <sup>a</sup>	2,9723(14)	C(2)—C(1)—C(4)	123,79(16)	F(2)—B(1)—O(1)	108,06(17)
O(2)—C(1)	1,292(2)	F(2)…C(1) <sup>b</sup>	2,940(3)	C(3)—C(2)—C(1)	120,67(16)	F(1)—B(1)—O(2)	108,34(17)
O(2)—B(1)	1,489(3)	F(2)…C(2) <sup>b</sup>	3,122(3)	C(3)—C(2)—Cl(1)	119,62(14)	F(2)—B(1)—O(2)	108,67(18)
				C(1)—C(2)—Cl(1)	119,24(15)	O(1)—B(1)—O(2)	110,09(15)
				O(1)—C(3)—C(2)	120,32(17)		
<b>2</b>							
Br(1)—C(2)	1,8802(14)	C(1)—C(2)	1,396(2)	C(3)—O(1)—B(1)	121,97(14)	O(1)—C(3)—C(5)	115,46(17)
F(1)—B(1)	1,359(2)	C(1)—C(4)	1,484(3)	C(1)—O(2)—B(1)	121,99(14)	C(2)—C(3)—C(5)	123,57(17)
F(2)—B(1)	1,371(3)	C(2)—C(3)	1,388(2)	O(2)—C(1)—C(2)	120,46(15)	F(1)—B(1)—F(2)	113,15(17)
O(1)—C(3)	1,291(2)	C(3)—C(5)	1,494(3)	O(2)—C(1)—C(4)	115,52(15)	F(1)—B(1)—O(1)	108,22(17)
O(1)—B(1)	1,486(2)	Br(1)…F(1) <sup>a</sup>	2,9727(12)	C(2)—C(1)—C(4)	123,98(15)	F(2)—B(1)—O(1)	108,05(16)
O(2)—C(1)	1,294(2)	F(2)…C(1) <sup>b</sup>	2,954(2)	C(3)—C(2)—C(1)	119,45(13)	F(1)—B(1)—O(2)	108,42(16)
O(2)—B(1)	1,487(2)	F(2)…C(2) <sup>b</sup>	3,150(2)	C(3)—C(2)—Br(1)	120,42(12)	F(2)—B(1)—O(2)	108,67(16)
				C(1)—C(2)—Br(1)	119,63(12)	O(1)—B(1)—O(2)	110,33(14)
				O(1)—C(3)—C(2)	120,95(15)		

Примечание. Симметрические преобразования: <sup>a</sup>—1+*x*, *y*, —1+*z*; <sup>b</sup>—2—*x*, 1/2+*y*, 1—*z*.

Сбор и редактирование данных, уточнение параметров элементарных ячеек проведено по программам SMART [15] и SAINT [16]. Все расчеты по определению и уточнению структур выполнены по программам SHELXTL/PC [17]. Основные кристаллографические данные и результаты уточнения структур приведены в табл. 1; длины связей и углы — в табл. 2. Структура молекул **1** и **2**, расположение их в элементарной ячейке приведены на рис. 1 и 2.

Теоретические расчеты выполнены с использованием пакета квантово-химических программ Firefly 7.1.G, методом DFT/B3LYP [18]. В методе DF использован гибридный обменно-корреляционный функционал B3LYP5, расчеты проведены в базисном наборе Попла 6-311G [19]. Геометрия хелатов **1** и **2** взята из эксперимента, F<sub>2</sub>B(acacH) — из работы [1]. Проведена процедура полной оптимизации. Для проверки соответствия оптимизированных структур точкам локального минимума на поверхности потенциальной энергии проводился расчет матрицы Гессе.

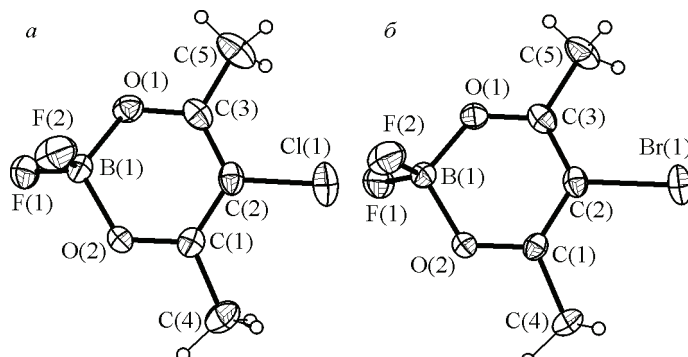


Рис. 1. Молекулярное строение соединений **1** и **2**

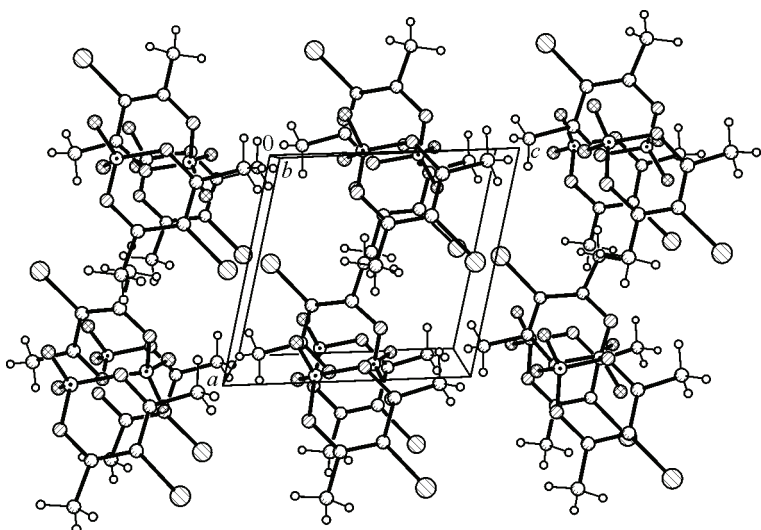


Рис. 2. Кристаллическая структура соединений **1** и **2** (на примере хелата **2**)

### ОБСУЖДЕНИЕ РЕЗУЛЬТАТОВ

Ранее в работе [1] было показано, что в  $F_2B(acacH)$  хелатный цикл не является плоским. В нем имеются два излома: по линии  $O\cdots O$  и по линии  $C(1)\cdots C(3)$ , придавая циклу форму *ван-ны*. Длины связей и углы в цикле попарно выровнены. В целом приведенное описанное повторяет строение металлохелатов, за исключением того, что для ацетилацетонатов металлов в литературе описан только один изгиб цикла по линии  $O\cdots O$  [20]. Считается, что в металлоциклах атомы  $O—C—C—C—O$  лежат в одной плоскости.

Введение галогена к центральному атому углерода ацетилацетоната дифторида бора вызывает некоторое увеличение длины связей и увеличивает изгиб хелатного цикла. Наиболее существенно, на  $0,02$ – $0,03$  Å, увеличивается длина связи  $C(2)—C(1)$  ( $C(2)—C(3)$ ), причем для бромзамещенного комплекса увеличение больше. Длина связей  $B—O$  для обоих комплексов увеличивается примерно одинаково на  $0,01$  Å, а длина связи  $C—O$  не меняется. При переходе к галогензамещенным комплексам вдвое увеличивается угол, на который отклоняются плоскости, в которых лежат атомы бора и  $C(2)$ , от плоскости, проходящей через атомы  $O(1)—C(3)—C(1)—O(2)$ :

Соединение	Угол между плоскостями, град.	
	$(O(1)—B(1)—O(2))—(O(1)—C(3)—C(1)—O(2))$	$(C(1)—C(2)—C(3))—(O(1)—C(3)—C(1)—O(2))$
$F_2B(acacH)$	8,4	4,1
$F_2B(acacCl)$	19,6	7,8
$F_2B(acacBr)$	19,2	7,8

(для  $F_2B(acacH)$  углы рассчитаны на основании значений, приведенных в работе [1]).

В ацетилацетонатах иридия введение атомов галогена практически не меняет длины внутрихелатных связей и изгиба цикла по линии  $O\cdots O$ , который составляет  $2$ – $4^\circ$  [8, 9].

Связь  $C—Hal$  в соединениях **1** и **2** лежит на линии, которая почти параллельна плоскости, образуемой атомами  $O(1)—C(3)—C(1)—O(2)$ . Длины связей  $B—F(1)$  и  $B—F(2)$  немного различаются ( $0,01$  Å), что обусловлено разным ближайшим межмолекулярным окружением атомов фтора.

Молекулы **1** и **2** имеют однотипную упаковку. Хелатные циклы располагаются в кристалле, образуя линейные цепи. Циклы одной цепи компланарны друг другу и одинаково ориентированы в пространстве: связи  $C—O$  молекул, образующих цепь, параллельны линии цепи и направлены в одну сторону. При этом экваториально расположенные атомы фтора ( $F(1)$ ) коорди-

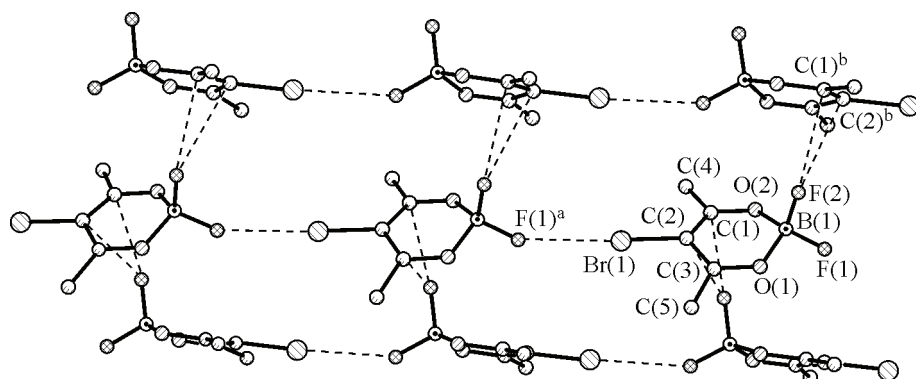


Рис. 3. Расположение хелатных циклов в соединениях 1 и 2 (на примере хелата 2)

нируются к атомам хлора (брома) соседней молекулы. Фрагмент F(1)···Hal—C(2) является практически линейным (отклонение 3°), а расстояние F···Cl (F···Br) на 8 % (10 %) меньше суммы ван-дер-ваальсовых радиусов элементов. Можно сказать, что молекулы соединений 1 и 2 кристаллизуются бесконечными плоскими лентами, расположенными параллельно одна над другой (рис. 3). При этом компланарны и строго друг под другом находятся ленты, расположенные через одну. Хелатные циклы в этих лентах направлены в одну сторону. В соседних лентах хелатные циклы направлены в противоположные стороны, а сами ленты располагаются со смещением на 1/2 ширины. Плоскости соседних лент находятся под углом 51—52°. В соседних лентах молекулы располагаются не друг под другом, а со смещением, образуя стопы молекул, упакованные в шахматном порядке. Подобное расположение приводит к тому, что аксиально расположенный атом фтора (F(2)) координируется к атому C(1) (к связи C(1)—C(2)) молекулы соседнего слоя (ленты). При этом расстояние F(2)···C(1) в обоих соединениях на 7 % меньше суммы ван-дер-ваальсовых радиусов элементов.

Для объяснения выявленных особенностей упаковки молекул мы провели расчет распределения электронной плотности в молекулах соединений **1** и **2**. В работе представлены маллиkenовские заряды. Несмотря на то, что маллигеновские заряды сильно зависят от базиса и при достаточно широком базисе вызывают справедливую критику, мы руководствовались тем, что нас интересовало качественное изменение зарядов на атомах при введении различных заместителей, а не анализ наличия связей между атомами или анализ заселенности, которые можно получить из метода NBO. Результаты расчетов приведены в табл. 3.

Полученные данные показывают, что в хелатном цикле на атомах C(1) и C(3) в обоих комплексах сосредоточен значительный положительный заряд, что объясняет появление взаимодействия между аксиально расположенным атомом фтора и атомом C(1) соседней молекулы. К дополнительным факторам, делающим возможным такое взаимодействие, можно отнести значительный излом хелатных циклов по линии O···O, что позволяет молекулам расположиться достаточно удобно и избежать стерического отталкивания.

### Т а б л и ц а 3

## Распределение зарядов в молекулах F<sub>2</sub>B(acac-X)

Вопреки ожиданиям, на атоме брома в соединении **2** в соответствии с расчетами также имеется положительный заряд, что объясняет существование взаимодействия между экваториально расположеными атомами фтора и атомом брома в соседней молекуле. В соединении **1** реализуется аналогичная ситуация. Заряд, сосредоточенный на атоме хлора, практически равен нулю.

#### СПИСОК ЛИТЕРАТУРЫ

1. Мирочник А.Г., Буквецкий Б.В., Гухман Е.В. и др. // Журн. общ. химии. – 2002. – **72**, № 5. – С. 790 – 793.
2. Hanson A.W., Macaulay E.W. // Acta Crystallogr. – 1972. – **28**, N 1. – Р. 1961 – 1967.
3. Мирочник А.Г., Буквецкий Б.В., Гухман Е.В. и др. // Изв. РАН. Сер. хим. – 2001. – № 9. – С. 1535 – 1538.
4. Emsley J., Freeman N.J., Bates P.A., Hursthouse M.B. // J. Mol. Struct. – 1989. – **196**. – Р. 249 – 255.
5. Буквецкий Б.В., Федоренко Е.В., Мирочник А.Г., Карасев В.Е. // Журн. структур. химии. – 2006. – **47**, № 1. – С. 62 – 68.
6. Буквецкий Б.В., Федоренко Е.В., Мирочник А.Г., Карасев В.Е. // Журн. структур. химии. – 2007. – **48**, № 6. – С. 1214 – 1217.
7. Guerro M., Roisnel T., Lorcy D. // Tetrahedron. – 2009. – **65**. – Р. 6123 – 6127.
8. Исакова В.Г., Байдина И.А., Морозова Н.В. и др. // Журн. структур. химии. – 1999. – **40**, № 2. – С. 331 – 339.
9. Исакова В.Г., Байдина И.А., Морозова Н.В. и др. // Журн. структур. химии. – 1999. – **40**, № 2. – С. 379 – 383.
10. Sans-Lenain S., Gleizes A. // Inorg. Chim. Acta. – 1993. – **211**. – Р. 67 – 75.
11. Knowles T.S., Howlin B.J., Jones J.R., Povey D.C., Amodio C.A. // Polyhedron. – 1993. – **12**, N 24. – Р. 2921 – 2924.
12. Estes E.D., Scaringe R.P., Hatfield W.E., Hodgson D.J. // Inorgan. Chem. – 1977. – **16**, N 7. – Р. 1605 – 1610.
13. Estes E.D., Scaringe R.P., Hatfield W.E., Hodgson D.J. // Inorgan. Chem. – 1976. – **15**, N 5. – Р. 1179 – 1182.
14. Свистунова И.В., Федоренко Е.В. // Журн. общ. химии. – 2008. – **78**, № 8. – С. 1281 – 1288.
15. Bruker. SMART. Bruker AXS Inc., Madison, Wisconsin, USA, 1998.
16. Bruker. SAINT. Bruker AXS Inc., Madison, Wisconsin, USA, 2003.
17. Sheldrick G.M. // Acta Crystallogr. – 2008. – **A64**. – Р. 112 – 122.
18. Грановский А.А. <http://classic.chem.msu.su/gran/gamess/index.html>
19. <https://bse.pnl.gov/bse/portal>
20. Школьникова Л.М., Порай-Кошиц М.А. // Итоги науки и техники. Сер. Кристаллохимия. – М.: ВИНИТИ, 1982. – **16**. – С. 117 – 231.